

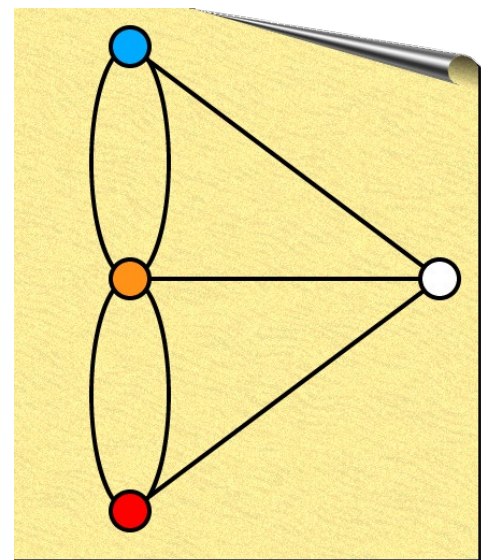
# 通信网络算法思维

## Part 1: 困难问题的求解

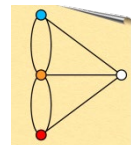
——基于LP的近似算法

王晟

博士 教授 博导



# 基于LP的近似算法



1

**Set Cover**

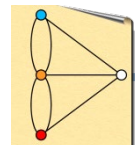
2

**Min. Congestion : Rounding**

3

**MultiCut : Primal-Dual**

# SC: 基于LP的近似算法

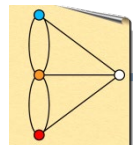


**1** Dual Fitting

**2** Rounding

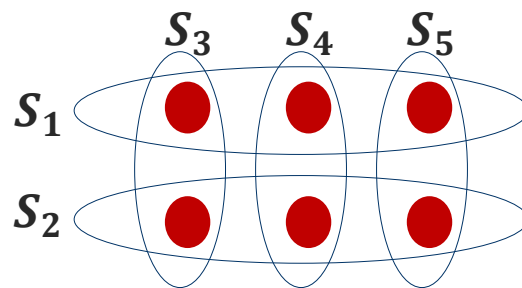
**3** Primal-Dual

# Set Cover(No Cost)



➡ 先来看一个简单的问题.

- ▢ 输入:  $m$ 个子集  $S_1, S_2, \dots, S_m \subseteq U$
- ▢ 目标: 挑选尽量少的子集来覆盖  $U$ .



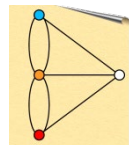
➡ Note:

- ▢ 与Set Coverage问题的区别: 约束和优化目标刚好反过来.
- ▢ 应用: 与Set Coverage的应用场合一样. 只是目标和约束不同.
- ▢ 困难的原因: 与Set Coverage也是一样的. 子集大小与冗余度的矛盾.

❓ Set Coverage问题我们是怎么求解的?

➡ 很显然, 这里也可以用这个思路.

# Greedy-SC-NoCost



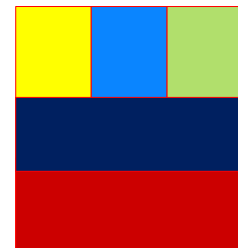
## ➔ 算法:

- ▢  $\mathcal{C} = \emptyset$
- ▢ **While**  $\mathcal{C}$  不能覆盖  $U$ , **Do**  
    挑选新覆盖元素最多的子集  $S_i$ , 加入  $\mathcal{C}$ .
- ▢ **return**  $\mathcal{C}$ .

## ➔ 坏例:

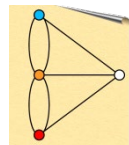
- ▢  $k = 3; |S_1| = |S_2| = |S_3| = \frac{|U|}{3};$   
 $|S_4| = \left(\frac{1}{3} + \epsilon\right) |U|; |S_5| = \left(\frac{2}{9} + \epsilon\right) |U|$

➔  $OPT = 3, GC = 5$



❗ 在Set Coverage中,这同时也是紧例. 但对Set Cover, 还有更坏的例子.

# 近似比



→ **Claim-1:** 令  $n = |U|$ , 则该算法  $\ln n$ -近似.

- ▶ 首先注意到: 对同一实例, 运行过程与 **Set Coverage** 一样. 仅终止条件不同.
- ▶ **Set Coverage** 问题中, 假如  $k$  个子集能覆盖的元素最多为  $x$  的话, 该算法保证循环  $k$  次后, 能至少覆盖  $(1 - \frac{1}{e})x$  个元素.
- ▶ **Set Cover** 问题中, 假如覆盖全部元素所需子集数目最少为  $y$  (即 **OPT**), 即存在  $y$  个子集, 其覆盖的元素总和为  $|U|$ .

→ 该算法前  $y$  次循环覆盖的元素数目至少为  $(1 - \frac{1}{e})|U|$

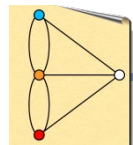
? 再运行  $y$  次, 还剩多少元素未覆盖?

→ 只剩  $\frac{1}{e^2}|U|$

▶  $y \ln n$  次循环后, 即可覆盖全集.

▶ 得证.

# Set Cover (with cost)



## 略有区别:

▣ 输入:  $m$ 个子集 $S_1, S_2, \dots, S_m \subseteq U$ , 子集代价为 $c_i \geq 0, i = 1, 2, \dots, m$ .

▣ 目标: 挑选总代价最小的多个子集来覆盖 $U$ .

➡ 换句话说, 不仅希望选择的子集新覆盖元素多, 而且希望代价小.

➡ 贪心准则呼之欲出.

## 算法:

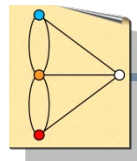
▣  $\mathcal{C} = \emptyset$

▣ **While**  $\mathcal{C}$ 不能覆盖 $U$ , **Do**  
    挑选 $r_i$ 最小的子集 $S_i$ , 加入 $\mathcal{C}$ .  
     $r_i = c_i / (\# \text{新覆盖元素})$

▣ **return**  $\mathcal{C}$ .

➡ **Claim-2:** 令 $n = |U|$ ,  
则该算法 $\ln n$ -近似.

# 追踪进展



→ 你不该奇怪: 我们的第一个念头是追踪进展.

→ **Lemma-3:** 任给  $S_i$ , 假定当前贪心解已经覆盖了  $S_i$  中的  $l$  个元素, 则下一个被选中的子集的贪心指标最多为:

$$\frac{c_i}{|S_i| - l}$$

- ▢ 这个式子描述的正是  $S_i$  的贪心指标.
- ▢ 贪心算法选择最小贪心指标的子集加入解.
- ▢ 得证.

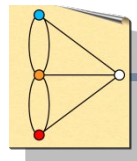
→ 为了利用该引理, 我们需要引入一个奇怪的变量.

➡ 接下来, 我将着重揭示该变量 “是什么” .

➡ 关于 “为什么”, 稍后会回来.

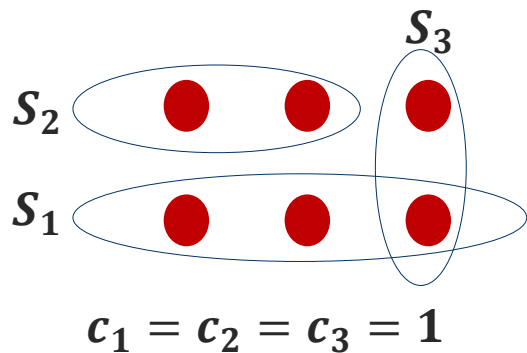


# 那个奇怪的变量...



➡ 针对每个元素  $e \in U$ , 定义  $q_e$  表示“贪心算法运行过程中, 首个覆盖  $e$  的子集的贪心指标  $r_i$ ”。

➡ 注意, 贪心算法最终会覆盖所有元素, 所以每个  $q_e$  都有良好定义。

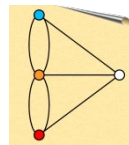


▢ 第一次选中  $S_1$ ,  $r_1 = 1/3$ , 因此下排三个元素的  $q_e$  都是  $1/3$ 。

▢ 第二次选中  $S_2$ ,  $r_2 = 1/2$ , 因此左上两个元素的  $q_e$  都是  $1/2$ 。

▢ 第三次选中  $S_3$ ,  $r_3 = 1/1$ , 因此右上那个元素的  $q_e$  是  $1$ 。

# q值上限

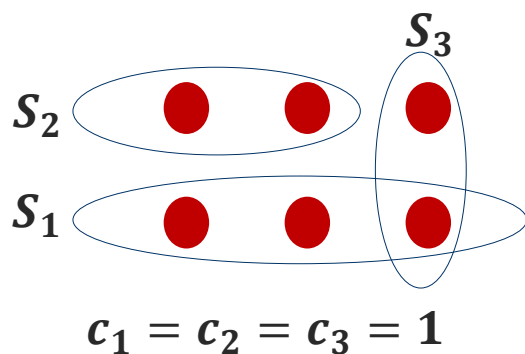


**Corollary-4:** 任给 $S_i$ , 其中第 $j$ 个被算法覆盖的元素 $e$ 满足:

$$q_e \leq \frac{c_i}{|S_i| - (j - 1)}$$

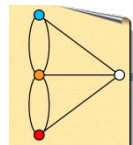
**Lemma-3:** 任给 $S_i$ , 假定当前贪心解已经覆盖了 $S_i$ 中的 $l$ 个元素, 则下一个被选中的子集的贪心指标最多为:  $\frac{c_i}{|S_i| - l}$

- ▣ 若 $S_i$ 中的元素一个一个被覆盖, 那么该结论很明显.
- ▣ 对于“一批一批”被覆盖的情形, 该结论“更加满足”.



- ▣ 该结论说,  $S_1$ 中的三个 $q_e$ 上限分别为 $1/3$ ,  $1/2$ 和 $1$ , 事实上, 它们的取值都是 $1/3$ .
- ▣ 该结论要求  $S_3$ 中的两个 $q_e$ 上限分别为 $1/2$ 和 $1$ , 事实上, 它们的取值是 $1/3$ 和 $1$ .

# 子集上限



➡ 由q值上限[Corollary-4], 容易得到下面的“子集上限”:

$$\sum_{e \in S_i} q_e \leq \frac{c_i}{|S_i|} + \frac{c_i}{|S_i| - 1} + \cdots + \frac{c_i}{2} + c_i$$

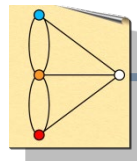
$$\approx c_i \ln |S_i|$$

$$\leq c_i \ln n,$$

其中  $n = |U|$

- ▣ 调和级数求和是通过积分近似的, 结果中还有一个小于1的常数(欧拉常数), 忽略该常数误差不大.
- ▣ 最后一步的放大其实并无必要. 定义  $\max_i |S_i|$  为上界更精确, 只是不那么简洁.

# 全集代价



➡ 由 $q$ 值定义, 也很容易得到下面的“全集代价”:

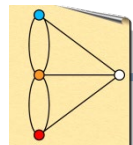
$$\sum_{e \in U} q_e = \text{贪心解的代价}$$

- ▣ 应用归纳法于贪心算法求解过程.
- ▣ 初始化时, 所有 $q_e$ 都为0; 尚未挑选子集, 故RHS也为0.
- ▣ 运行过程中, 假如挑选了子集 $S_i$ , 显然RHS会增加 $c_i$ .
- ▣ 由于新覆盖了一些元素, 其 $q$ 值会变为非零, 故LHS也会增加.

❓ LHS增加多少?

➡ 也是 $c_i$ , 因为:  $r_i(\text{\#新覆盖元素}) = c_i$

# 证明Claim-2



→ **Claim-2:** 令  $n = |U|$ , 则该算法  $\ln n$ -近似.

▣ 令  $\{S_1^*, \dots, S_k^*\}$  表示最佳 **Set Cover**, 而 **OPT** 表示其代价.

▣ 由前面的讨论有:

$$\text{贪心解代价} = \sum_{e \in U} q_e$$

→ 全集代价

$$\leq \sum_{i=1}^k \sum_{e \in S_i^*} q_e$$

→ 同一元素可能存在于多个子集中

$$\leq \sum_{i=1}^k c_i \ln n$$

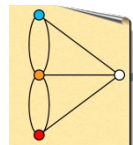
→ 子集上限

$$= \text{OPT} \ln n$$

→ **OPT** 的定义

▣ 得证.

# 紧例



➡ 紧例:

▣  $U = \{1, 2, \dots, n\}$

▣  $S_0 = U, c_0 = 1 + \epsilon$

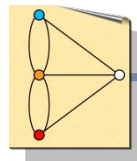
▣  $S_i = \{i\}, c_i = \frac{1}{i}, i = 1, 2, \dots, n$

➡ 最佳解显然应是 $S_0$ ,最佳值为 $1 + \epsilon$ .

➡ 贪心解的挑选顺序为 $S_n, S_{n-1}, \dots, S_1$ , 总代价 $\approx \ln n$ .

⚠ 我们的分析没有改进的空间.

# 那朵疑云...



➡ 至此, 我们应该有这样的印象:

- ▢ 这是个符合直觉的贪心算法;
- ▢ 其证明逻辑完美无缺.

❓ 只是,  $q$  值是怎么想到的?  
面对一个新的算法, 我能不能想到?

➡ 这个  $q$  值是对偶变量.

➡ 整个证明过程是在 “**Dual-Fitting**” 的思路下构造的.

➡ 我们接下来就用 **LP** 对偶理论来重新理解这个证明过程.

# ILP vs. LPR



## i SC-ILP

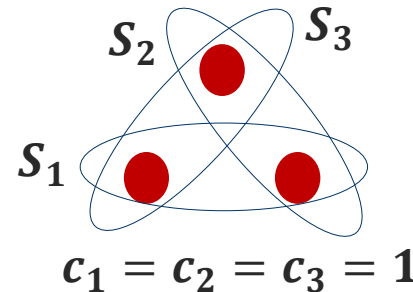
$$\text{Minimize } \sum_{i=1}^m c_i x_i$$

subject to

$$\sum_{i:e \in S_i} x_i \geq 1, \quad \forall e \in U$$
$$x_i \in \{0, 1\}, \quad \forall S_i$$

➡ 回忆前面对该问题的LP建模.

▣ 松弛掉整数约束后, 分数解可能更好.



▣ 对该例,  $\text{OPT}=2$ ,  $\text{F-OPT}=3/2$

➡  $\text{FOPT} \leq \text{OPT}$

## i SC-LPR

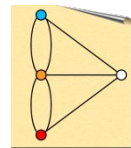
$$\text{Minimize } \sum_{i=1}^m c_i x_i$$

subject to

$$\sum_{i:e \in S_i} x_i \geq 1, \quad \forall e \in U$$
$$x_i \geq 0, \quad \forall S_i$$



# LPR vs. LPR-D



→ 回忆对偶推导的方法.

? 弱对偶定理怎么说的?

→ 对偶可行解的目标值是**FOPT**的下限.

→ **Lemma-5:** 令 $\{p_e\}$ 是LPR-D的可行解, 则有:

$$\sum_{e \in U} p_e \leq \text{FOPT} \leq \text{OPT}$$

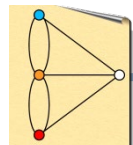
i **SC-LPR**

$$\begin{aligned} & \text{Minimize} \quad \sum_{i=1}^m c_i x_i \\ & \text{subject to} \\ & \quad \sum_{i: e \in S_i} x_i \geq 1, \quad \forall e \in U \\ & \quad x_i \geq 0, \quad \forall S_i \end{aligned}$$

i **SC-LPR-D**

$$\begin{aligned} & \text{Maximize} \quad \sum_{e \in U} p_e \\ & \text{subject to} \\ & \quad \sum_{e \in S_i} p_e \leq c_i, \quad \forall S_i \\ & \quad p_e \geq 0, \quad \forall e \in U \end{aligned}$$

# Dual-Fitting



➡ 回忆前面的证明中, 我们用到的关于 $q$ 值的两个结论:

▣ 子集上限:  $\sum_{e \in S_i} q_e \leq c_i \ln n$

➡ 若定义 $p = q / \ln n$ , 则 $p$ 对偶可行.

▣ 全集代价:  $\sum_{e \in U} q_e = \text{贪心解代价}$

➡ 贪心解代价是 $p$ 的目标值的 $\ln n$ 倍.

➡ 由Lemma-5,  $p$ 的目标值是OPT下限.

➡ 重述这个逻辑:

- ▣ A) 根据对偶解的含义构造变量;  $[q]$
- B) 它可以刻画算法的目标值; [全集代价]
- C) 讨论它与对偶可行条件的差距;  $[\ln n]$
- D) 建立算法目标值与FOPT的差距;  $[\ln n]$



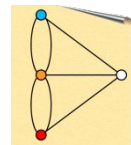
## SC-LPR-D

$$\begin{aligned} & \text{Maximize} \quad \sum_{e \in U} p_e \\ & \text{subject to} \\ & \quad \sum_{e \in S_i} p_e \leq c_i, \quad \forall S_i \\ & \quad p_e \geq 0, \quad \forall e \in U \end{aligned}$$



这就是Dual-Fitting  
证明思路.

# SC: 基于LP的近似算法

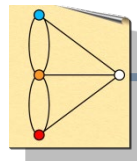


**1** Dual Fitting

**2** Rounding

**3** Primal-Dual

# Vertex Cover(with cost)



➡ 与我们最早讨论的No Cost版本相比, 有两个区别:

- ▢ 图中每个顶点都附有一个给定的代价,  $c_v, \forall v \in V$ .
- ▢ 目标是用最小代价覆盖所有边.

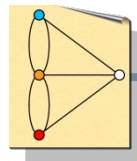
➡ 显然, 该问题归约为Set Cover with Cost问题.

- ▢ VC实例中的边对应SC实例中的元素;
- ▢ VC实例中的顶点对应SC实例中的子集;

➡ 特殊之处: 每个元素在这些子集中出现的“频率”都是2.

❓ 这个归约关系意味着什么?

# 意味着...



➡ 求解SC的算法可以用来求解VC问题.

❓ 不需实例变换, 直接根据**SC**的贪心思想来设计**VC**算法?

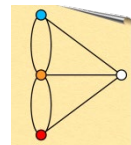
➡ VC是SC的特例, 可以期待更好的算法.

➡ 很遗憾, 贪心得到的算法近似比不是常数.

❗ 好消息: VC-with Cost 有常数近似比的算法.

➡ 用LP-Rounding技术就可以得到.

# VC: LP-Rounding



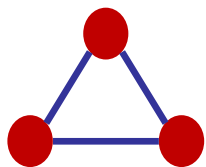
## ➔ 算法:

▢ 调用LP-Solver求出LPR的最佳解 $\mathbf{x}^*$ .

▢ Return  $S = \{v \in V: \mathbf{x}_v^* \geq \frac{1}{2}\}$

## ➔ 回忆:

▢ LPR的解不保证整数; 但往往目标值更好.



$c_v = 1$

$OPT = 2$

$FOPT = 3/2$

Rounding = 3

## i VC-ILP

$$\text{Minimize } \sum_{v \in V} c_v x_v$$

subject to

$$\begin{aligned} x_v + x_w &\geq 1, & \forall e(v, w) \in E \\ x_v &\in \{0, 1\}, & \forall v \in V \end{aligned}$$

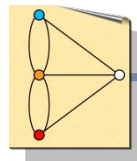
## i VC-LPR

$$\text{Minimize } \sum_{v \in V} c_v x_v$$

subject to

$$\begin{aligned} x_v + x_w &\geq 1, & \forall e(v, w) \in E \\ \mathbf{x}_v &\geq \mathbf{0}, & \forall v \in V \end{aligned}$$

# LP-Rounding的特点



## ➡ 思路很容易理解:

- ▣ 求解LPR得到的是“比最佳解更好的解”,但它不可行.

➡ 类比: 求解MTSP问题时构造的MST.

- ▣ 把它变成可行的整数解就可以了.

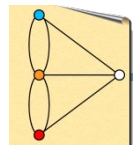
➡ 类比: 求解MTSP问题时, Tree-Doubling + Shortcut

## ➡ 细节上不容易处理:

- ▣ Rounding的方式并不简单: 要保证可行.

➡ VC是个Happy Case.

# Rounding算法2-近似



→ **Lemma-6:** 上述LP-Rounding算法输出的 $S$ 一定是可行解。

▣  $x^*$ 是LPR的最佳解, 必满足约束:  $x_v^* + x_w^* \geq 1, \forall (v, w) \in E$

→ 换句话说, 每条边的两个关联顶点中, 至少有一个在最佳解中取得超过 $1/2$ 的解。

→ 算法保证: 每条边都至少有一个顶点被加入 $S$ . ▣ 得证.

→ **Claim-7:** 上述LP-Rounding算法是2-近似算法。

▣ 
$$\sum_{v \in S} c_v \leq \sum_{v \in V} c_v (2x_v^*)$$
$$= 2 FOPT$$
$$\leq 2 OPT$$

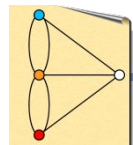
→ 第一个不等式:  $S$ 中的顶点满足 $2x_v^* \geq 1$ ,  $V-S$ 中的顶点对RHS贡献非负。

→ 等式:  $x^*$ 是LPR的最佳解。

▣ 得证. → 第二个不等式: LPR vs. ILP



# 真的是神器吗？



➡ 想想我们已经知道的事实：

- ▣ **NP-H**优化问题大多可以建模为**ILP**；
- ▣ 求解对应的**LPR**是多项式时间的；
- ▣ 把分数解用最靠近的整数代替并不费事。

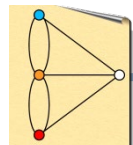
➡ **LP-Rounding**简直是近似算法设计的神器！

➡ 没有免费午餐：

- ▣ 简单的“取整”方式可能导致不可行；
- ▣ 或者近似比难以分析，甚至近似比很差。

➡ 我们接下来用**SC**问题为例。

# SC: Rounding算法#1



➡ 算法#1: ➡ 取整方式: 四舍五入.

▢ 调用LP-Solver求出SC-LPR的最佳解 $\mathbf{x}^*$ .

▢ Return  $S = \{s_i: \mathbf{x}_i^* \geq \frac{1}{2}\}$  ➡ 至少对VC, 该算法成功.

➡ 考虑下面的问题实例:

▢  $U = \{a, b, c, d, e, f, g, h\}$

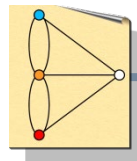
▢  $S_1 = \{a, b, c, d\}, S_2 = \{e, f, g, h\}, S_3 = \{a, b, e, f\}, S_4 = \{c, d, g, h\}$   
 $S_5 = \{a, c, e, g\}, S_6 = \{b, d, f, h\}, \quad c_i = 1, \forall i = 1, \dots, 6$

➡ 注意元素的出现模式: 每个元素的“频率”都是3.

➡ LPR的最佳解为:  $x_i^* = \frac{1}{3}, \forall i = 1, \dots, 6, \text{FOPT}=2$

❓ 算法#1的运行结果? ➡ 全部取0, 不可行解.

# SC: Rounding算法#2



➡ 算法#2: ➡ 取整方式: 零舍全入.

▢ 调用LP-Solver求出SC-LPR的最佳解 $\mathbf{x}^*$ .

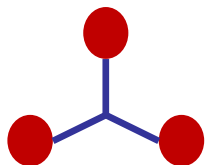
▢ Return  $S = \{S_i: \mathbf{x}_i^* > 0\}$  ➡ 注意: 这样一定是可行解.

➡ 上一页中给的那个实例足以说明, 算法#2的近似比不可能小于 $\Omega(n)$ .

➡ 为了说明这一点, 需要理解该实例的构造方法: 超图.

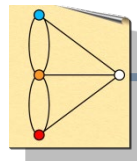
▢ 超图(Hypergraph): 这种图由顶点和超边构成.

▢ 超边(Hyperedge): 一条超边可以与2个以上的顶点关联.



➡ 左图就是一个超图: 3个顶点, 1条超边.

# 算法#2的坏例



## → 超图构造方式:

- ▣ 图中顶点共有  $n = mk$  个. 等分为不相交的  $k$  组, 每组  $m$  个顶点.

→ 这  $k$  个不同的点集表示为:  $V_1, V_2, \dots, V_k$

- ▣ 每条超边都与  $k$  个顶点关联. 选择方式: 从每个点集  $V_i$  中各选一个.

→ 该图中共计有  $m^k$  条超边.

? 该实例的最佳解?

→ 选择  $V_1$  对应的那  $m$  个子集.  
**OPT =  $m$**

## → 与Set Cover实例的关系:

- ▣ 每条超边对应一个元素.

→  $|U| = m^k$

- ▣ 每个顶点对应一个子集.

→ 显然, 每个元素的频率都是  $k$ .

→ 前面那个实例:  $m = 2, k = 3$

? LPR的最佳解?

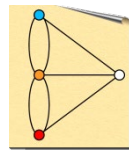
→  $x^* = 1/k$ , **FOPT =  $m$**

? 算法#2的解?

→ 所有子集都选,  $mk$

→ 比最优解差  $k = \Omega(n)$  倍.

# SC: Rounding算法#3



SC-LPR

$$\text{Minimize } \sum_{i=1}^m c_i x_i$$

subject to

$$\sum_{i:e \in S_i} x_i \geq 1, \quad \forall e \in U$$
$$x_i \geq 0, \quad \forall S_i$$

➡ 算法#3: ➡ 取整方式: 最大频率  $f$ .

▢ 调用LP-Solver求出SC-LPR的最佳解  $\mathbf{x}^*$ .

▢ Return  $S = \{S_i: \mathbf{x}_i^* \geq 1/f\}$

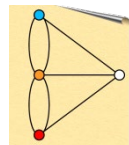
➡ **Lemma-8: Rounding算法#3输出的  $S$  一定是可行解.**

▢  $\mathbf{x}^*$  是LPR的最佳解, 必满足约束:  $\sum_{i:e \in S_i} x_i^* \geq 1, \forall e \in U$

➡ 换句话说, 包含了元素  $e$  的多个子集(最多  $f$  个), 至少有一个子集在最佳解中取得超过  $1/f$  的解.

➡ 算法保证: 对每个元素, 都至少有一个包含它的子集被加入  $S$ .

# 算法#3是f-近似的



➡ **Claim-9: Rounding** 算法#3是 **f-近似** 算法.

$$\begin{aligned} \sum_{S_i \in S} c_i &\leq \sum_{i=1}^m c_i (f x_i^*) \\ &= f \cdot FOPT \\ &\leq f \cdot OPT \end{aligned}$$

➡ 第一个不等式: 选入 **S** 中的子集必然满足  $f x_v^* \geq 1$ ; 其他子集非负.

➡ 等式:  $x^*$  是 **LPR** 的最佳解.

➡ 第二个不等式: **LPR vs. ILP**

▶ 得证.

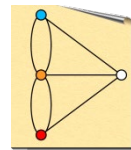
❓ 这个近似比有多好?

➡ 其实不怎么样. 算法#2的那个坏例, 刚好是这个算法的紧例.  
[那个例子中的  $k$ , 其实就是频率. 别忘了  $k = \Omega(n)$ ]

➡ 接下来将证明, 算法#2其实也是 **f** 近似的.[当然证明没这么容易]

➡ 算法#3在现实中效果明显更好, 但在近似比的意义上并无区别.

# 算法#2也是



→ **Claim-10: Rounding**算法#2也是 **$f$ -近似算法**.

▣ 令 $x^*, p^*$ 表示LPR和LPR-D的最佳解.

→ 互补松弛条件:  $\forall x_i^* \neq 0, \sum_{e \in S_i} p_e^* = c_i$

▣ 算法#2将所有非零 $x_i^*$ 对应的子集 $S_i$ 都放入了最终解 $S$ 中.

$$\begin{aligned} \sum_{S_i \in S} c_i &= \sum_{S_i \in S} \sum_{e \in S_i} p_e^* \leq \sum_{i=1}^m \sum_{e \in S_i} p_e^* \leq f \sum_{e \in U} p_e^* = f \cdot FOPT \leq f \cdot OPT \end{aligned}$$

↑ 互补松弛条件
↑ 其他子集非负
↑  $e$ 最多出现 $f$ 次
↑ 强对偶定理
↑ LPR是下界

▣ 得证.



**SC-LPR-D**

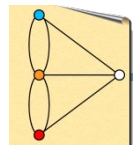
$$\text{Maximize } \sum_{e \in U} p_e$$

subject to

$$\sum_{e \in S_i} p_e \leq c_i, \quad \forall S_i$$

$$p_e \geq 0, \quad \forall e \in U$$

# 小结LP-Rounding



➡ 确实是设计近似算法的神器.

➡ 但取整方案的选择并不容易.

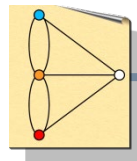
➡ 该选择会影响可行性. [算法#1]

➡ 也可能会影响性能分析的难度. [算法#2]

➡ 有时还可能会影响近似比. [算法#2不算]



# Set Cover的故事还没完



➡ 对Set Cover问题, LP-Rounding提供的近似比为 $f$ .

➡ 取整方案的选择并不容易.

➡ 最坏情况下,还不如贪心算法 $\ln n$

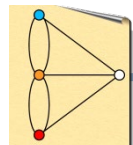
➡ 接下来我们用Randomized Rounding(随机取整)设计算法.

➡ 取整方案简单明了.

➡ 得到的近似比为 $\ln n$ .

➡ 但是(总有个但是): 该近似比是概率意义上的.

# 随机取整



## ➡ 基本思路:

▢ 对0-1规划来说, 将LPR的最佳解看做概率是很自然的.

▢ 然后, 依概率来决定某个变量是否为1.

➡ 例如, 若Set Cover的LPR最佳解中 $x_i^* = 0.6$ , 则产生一个 $[0,1]$ 内均匀分布的随机数 $b$ .

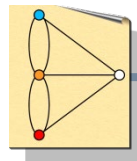
➡ 若 $b \in [0, 0.6]$ , 则子集 $S_i$ 被选中, 否则该子集不在最后的解中.

## ➡ 两个明显的问题:

❓ 能保证可行吗?

❓ 近似比还是“最坏性能界”的含义吗?

# 随机性的影响



## ? 能保证可行吗?

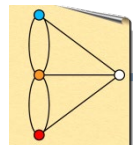
- ➡ 不能. 这是随机算法的关键特点. 你只能去习惯这个概念.
- ➡ 通过多次运行(独立取随机数)同一过程, 然后合并这些解, 可以减小不可行的概率.
- ➡ 是的, 最后的结论也只是不可行的概率小到一定程度.

## ? 近似比还是“最坏性能界”的含义吗?

- ➡ 不是. 是概率意义上的. [具体语义将结合例子阐述]
- ➡ 但是, 这种性能界并不依赖于实例的分布, 只依赖于算法中产生随机数的分布.
- ➡ 换句话说, 这种性能界仍然是对任意实例都成立的.

! | 随机算法虽然难以理解, 但却是个真正的 “Big Idea” .

# 单次运行RR的结果(1/2)

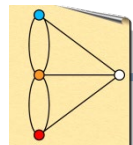


➡ 先看RR算法的解的代价.

- ▢ 令  $x^*$  表示LPR的最佳解.
- ▢ 将其理解为概率, 并依据这些概率来决定是否选择对应的子集.
- ▢ 最终选中的那些子集构成集合  $\mathcal{S}$ . 其代价为  $c(\mathcal{S})$ .
- ▢ 则解代价的期望为:

$$E[c(\mathcal{S})] = \sum_{i=1}^m \Pr[S_i \text{ 被选中}] \cdot c_i = \sum_{i=1}^m x_i^* c_i = FOPT$$

# 单次运行RR的结果(2/2)



➡ 接下来计算: 元素  $a \in U$  被  $S$  覆盖的概率.

- ▢ 假定元素  $a$  包含在  $k$  个子集中. 这些子集被选中的概率为  $x_1^*, x_2^*, \dots, x_k^*$ .
- ▢ 由于是最佳解, 所以必然满足:  $x_1^* + \dots + x_k^* \geq 1$
- ▢ 由基础微积分的知识, 我们知道: 在这个条件下, 使得  $Pr[a \text{ 被 } S \text{ 覆盖}]$  最小的取值方式是:  $\forall i = 1, 2, \dots, k, x_i^* = \frac{1}{k}$

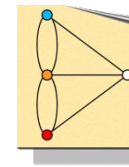
➡ 故有:

$$Pr[a \text{ 被 } S \text{ 覆盖}] \geq 1 - \left(1 - \frac{1}{k}\right)^k \geq 1 - \frac{1}{e}$$

➡ 其中  $e$  是自然对数的底.

➡ 显然,  $a$  不被覆盖的概率为  $1/e$ .

# 多次运行RR的效果



➡ **IDEA:** 多次独立运行RR, 即可增大可行概率.

▣ 假定独立运行 $m$ 次, 每次得到的 $S$ 都合并起来, 合集记为 $S'$ .

➡ 显然,  $Pr[a \text{ 未被 } S' \text{ 覆盖}]$  会减小为  $1/e^m$ .

➡  $Pr[S' \text{ 不可行}]$  也会减小.

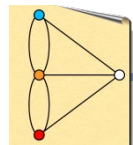
➡ **但是:** 解的代价也会相应增大.

▣ 由于每个子集被选中的概率增大了 $m$ 倍.

➡ 显然,  $E[c(S')] = m \cdot E[c(S)] = m \cdot FOPT$

❓ 运行次数 $m$ 该如何选择?

# WHP



❓ 运行次数 $m$ 该如何选择?

➡ 要保证: “with high probability, 元素 $a$ 被 $S'$ 覆盖.”

➡ WHP的概念:

▢ 我们说 “WHP, 事件 $E$ 发生”, 是指算法可以通过设置某个参数来保证 $\forall \alpha \geq 1, E$ 发生的概率至少为 $1 - O(\frac{1}{n^\alpha})$ .

[或者等价地, 不发生的概率最多为 $O(\frac{1}{n^\alpha})$ ]

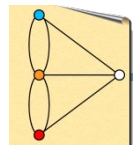
➡ 这意味着, 该算法在多项式时间内, 即可“Almost certainly”保证 $E$ 的发生.

➡ 对我们的问题来说:

▢ 事件 $E$ =元素 $a$ 被 $S'$ 覆盖

▢ 算法可设置参数=运行次数 $m$

# 参数m的设置方案



## → 参数m的设置:

▣ 为追求可行, 只需选择保证右式成立的m即可:  $\left(\frac{1}{e}\right)^m \leq O\left(\frac{1}{n^\alpha}\right) \approx \frac{\beta}{n^\alpha}$

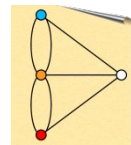
▣ 另一方面, 我们又希望m不要太大.[影响RT, 也影响近似比]

→ 令  $m = c \ln n$ , 其中c是保证右式满足的最小常数:  $\left(\frac{1}{e}\right)^{c \ln n} \leq \frac{\beta}{n^\alpha}$

! 这就是保证 “WHP,  $\delta'$ 可行, 且代价最小” 的参数选择方案



# 算法性能



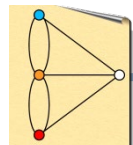
## → 可行性:

- ▢ 此时有:  $Pr[a \text{ 未被 } S' \text{ 覆盖}] \leq \left(\frac{1}{e}\right)^{c \ln n} \leq \frac{\beta}{n^\alpha}$
- ▢ 对所有  $a \in U$  求和, 有:  $Pr[S' \text{ 不可行}] \leq \frac{\beta}{n^{\alpha-1}}$

## → 近似比:

- ▢ 显然有:  $E[c(S')] \leq c \ln n \cdot FOPT$
- ▢ 应用Markov不等式  $Pr[X \geq t] \leq E[X]/t$ , 其中  $t = \frac{c}{\beta} \ln n \cdot FOPT$ ,  
得到:  $Pr\left[c(S') \geq \frac{c}{\beta} \ln n \cdot FOPT\right] \leq \beta$

# 举例



➡ 假如调用者设定:  $\alpha = 1, \beta = 1/4$

▢ 则算法应设定  $c$  为满足右式的最小常数:  $\left(\frac{1}{e}\right)^{c \ln n} \leq \frac{1}{4n}$

▢ 算法运行  $m = c \ln n$  次 RR 后得到的解  $S'$ , 可以保证针对任意实例, 有:  $\Pr[S' \text{ 不可行}] \leq \frac{1}{4}$ , 并且  $\Pr[c(S') \geq 4c \cdot \ln n \cdot FOPT] \leq \frac{1}{4}$

➡ 换句话说,  $\Pr[S' \text{ 可行且代价} \leq 4c \cdot \ln n \cdot FOPT] \geq \frac{1}{2}$

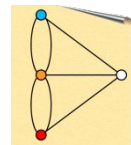
▢ 注意到, 得到  $S'$  后检查一遍上述两个条件是否满足, 只需多项式时间.

➡ 只要不满足, 可以重新运行一遍整个算法, 得到另一个解  $S''$ .

➡ 上述结论保证: 为得到可行且满足近似比的解, 平均只需 2 遍运行.

! 这就是“该 RR 算法近似比为  $\ln n$ ”的全部含义.

# 小结: Rounding



## ➡ Happy Case: LP-Rounding for VC

- ▢ 简单取整方案, 2-近似.

## ➡ Not so happy: LP-Rounding for SC

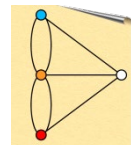
- ▢ 合适的取整方案,  $f$ -近似, 最坏情况  $f = \Omega(n)$ .

## ➡ Happy but Weird: Randomized-Rounding for SC

- ▢ **WHP**可行,  $O(\ln n)$ -近似. 但是概率意义上的结论.

⚠ 取整是设计近似算法的利器, 但应用起来并不容易.

# SC: 基于LP的近似算法

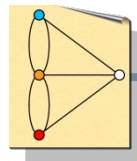


**1** Dual Fitting

**2** Rounding

**3** Primal-Dual

# VC: 减少运行时间



➡ 回忆: 基于Rounding的2-近似算法.

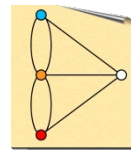
- ▣ 有人基于“unique games”猜想(一个强化版本的 $P \neq NP$ 猜想), 证明了VC不可能有更好的近似比了.

➡ 看来, 改进近似比是不可能了.

- ▣ 但仍有改进的空间: 直接求解LP导致算法的运行时间不能令人满意.

➡ 接下来, 我们用Primal-Dual技术来设计一个高效算法.

# VC: P-D schema



➡ 计划: 基于P-D schema来设计算法.

▢ 算法中始终保持对偶可行解, 追求主可行.

▢ 主可行的含义: 始终保持主解为整数, 但直至算法结束, 才能覆盖所有元素.

▢ 两个互补松弛条件中, 一个被保持, 另一个“近似满足”.

➡ 要点是: 该算法不需显式求解LP, 但需要LP对偶理论的指导.



## VC-ILP

$$\text{Minimize } \sum_{v \in V} c_v x_v$$

subject to

$$\begin{aligned} x_v + x_w &\geq 1, & \forall e(u, w) \in E \\ x_v &\in \{0, 1\}, & \forall v \in V \end{aligned}$$



## VC-LPR

$$\text{Minimize } \sum_{v \in V} c_v x_v$$

subject to

$$\begin{aligned} x_v + x_w &\geq 1, & \forall e(v, w) \in E \\ x_v &\geq 0, & \forall v \in V \end{aligned}$$



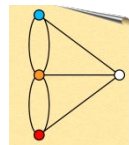
## VC-LPR-D

$$\text{Maximize } \sum_{e \in E} p_e$$

subject to

$$\begin{aligned} \sum_{e \in \delta(v)} p_e &\leq c_v, & \forall v \in V \\ p_e &\geq 0, & \forall e \in E \end{aligned}$$

# P-D算法 for VC



## VC-P-D

- ▣  $\forall e \in E, p_e = 0$
- ▣  $\mathcal{S} = \emptyset$
- ▣ **While**  $\mathcal{S}$ 未覆盖所有边 **Do**
  - ▣ 任选一条边  $e = (v, w), v, w \notin \mathcal{S}$ .
  - ▣ 增大  $p_e$ , 直至有对偶约束变紧.
  - ▣ 将紧约束对应的顶点加入  $\mathcal{S}$ .
- ▣ **return**  $\mathcal{S}$



## VC-LPR-D

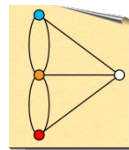
$$\begin{aligned} & \text{Maximize} \quad \sum_{e \in E} p_e \\ & \text{subject to} \\ & \quad \sum_{e \in \delta(v)} p_e \leq c_v, \quad \forall v \in V \\ & \quad p_e \geq 0, \quad \forall e \in E \end{aligned}$$

→  $p_e$  涉及两个对偶约束. 分别对应顶点  $v, w$ .

→ “变紧”是指对偶约束取得等号.

❗ 如果不知道LP对偶, 这个算法完全不可能理解.

# 该算法提供的保障(1/2)



## 该算法保证了以下几点:

▣ (A) 算法终止时, 得到的解 $\mathcal{S}$ 可行.

▣ (B)  $\mathbf{p}$ 始终是LPR-D的可行解.

➡ 初始化为0, 以后只会增大.

➡ 每次增大都不违背对偶约束.

▣ (C) 若 $v \in \mathcal{S}$ , 则 $\sum_{e \in \delta(v)} p_e = c_v$ .

➡ 每次加入 $\mathcal{S}$ 都满足.

➡ 这是主变量的互补松弛条件.

▣  $\forall e \in E, p_e = 0$

▣  $\mathcal{S} = \emptyset$

▣ **While**  $\mathcal{S}$ 未覆盖所有边 **Do**

▣ 任选一条边 $e = (v, w), v, w \notin \mathcal{S}$ .

▣ 增大 $p_e$ , 直至有对偶约束变紧.

▣ 将紧约束对应的顶点加入 $\mathcal{S}$ .

▣ **return**  $\mathcal{S}$

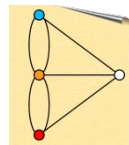


**VC-LPR-D**

$$\begin{aligned} & \text{Maximize} \quad \sum_{e \in E} p_e \\ & \text{subject to} \\ & \quad \sum_{e \in \delta(v)} p_e \leq c_v, \quad \forall v \in V \\ & \quad p_e \geq 0, \quad \forall e \in E \end{aligned}$$



# 该算法提供的保障(2/2)



## 该算法保证了以下几点:

- ▶ (A) 算法终止时, 得到的解 $\mathcal{S}$ 可行.
- ▶ (B)  $\mathbf{p}$ 始终是LPR-D的可行解.
- ▶ (C) 若 $v \in \mathcal{S}$ , 则 $\sum_{e \in \delta(v)} p_e = c_v$ .
- ▶ (D) 若 $p_e \neq 0, e = (v, w)$ , 则 $|\mathcal{S} \cap \{v, w\}| \leq 2$ .

➡ 最多两个端点在 $\mathcal{S}$ 中, 即使 $p_e = 0$ , 该条件也满足.

➡ 这实际上是对偶变量的互补松弛条件 ( $|\mathcal{S} \cap \{v, w\}| = 1$ ) 的“近似版本”.

➡ 对偶变量的互补松弛条件近似满足, 不满足的程度不超过2倍.

▶  $\forall e \in E, p_e = 0$

▶  $\mathcal{S} = \emptyset$

▶ **While**  $\mathcal{S}$ 未覆盖所有边 **Do**

▶ 任选一条边 $e = (v, w), v, w \notin \mathcal{S}$ .

▶ 增大 $p_e$ , 直至有对偶约束变紧.

▶ 将紧约束对应的顶点加入 $\mathcal{S}$ .

▶ **return**  $\mathcal{S}$



**VC-LPR**

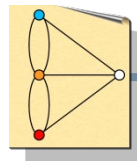
Minimize  $\sum_{v \in V} c_v x_v$

subject to

$x_v + x_w \geq 1, \quad \forall e(v, w) \in E$

$x_v \geq 0, \quad \forall v \in V$

# P-D设计原则



## → 解读这些保证:

- ▶ (A) 算法终止时, 得到的解 $\mathcal{S}$ 可行.  $\Rightarrow$  主可行.
- ▶ (B)  $\mathbf{p}$ 始终是LPR-D的可行解.  $\Rightarrow$  对偶可行.
- ▶ (C) 若 $v \in \mathcal{S}$ , 则 $\sum_{e \in \delta(v)} p_e = c_v$ .  $\Rightarrow$  满足第一个互补松弛条件
- ▶ (D) 若 $p_e \neq 0, e = (v, w)$ , 则 $|\mathcal{S} \cap \{v, w\}| \leq 2$ .  $\Rightarrow$  近似满足第二个

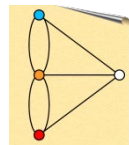
## → 由LP对偶理论我们知道:

- ▶ 主可行 + 对偶可行 + 满足所有互补松弛条件 = 最佳解
- $\Rightarrow$  对于NP-H问题, 我们显然不能指望这些条件同时满足.

## → 不难得出针对NP问题的P-D算法设计原则:

- ▶ 保持对偶可行, 追求主可行.
- ▶ 保持互补松弛条件(一个或两个)近似满足.
- $\Rightarrow$  近似程度就是最终算法的近似比.

# 近似比为2



→ **Claim-11:** 上述针对VC的P-D算法是2-近似算法.

$$\sum_{v \in \mathcal{S}} c_v = \sum_{v \in \mathcal{S}} \sum_{e \in \delta(v)} p_e$$

→ 算法保证(C).

$$= \sum_{e=(v,w) \in E} p_e \cdot |\mathcal{S} \cap \{v, w\}|$$

→ 交换求和顺序.

$$\leq 2 \sum_{e \in E} p_e$$

→ 算法保证(D).

$$\leq 2 \cdot FOPT$$

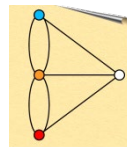
→ 算法保证(B); 弱对偶定理

$$\leq 2 \cdot OPT$$

→ FOPT是下限

▶ 得证.

# SC: P-D算法设计



➡ 应用上述原则, 该算法应具备以下特点:

- ▣ 维护对偶变量 $\mathbf{p}$ , 始终保持其可行性.
- ▣ 维护主变量 $\mathbf{x}$ , 始终保持其为整数.  
并不断改进其可行性.直至最后覆盖所有元素.

- ▣ 算法中可以控制 $\mathbf{p}$ 的大小, 并据此决定哪些 $\mathbf{x}$ 取得非零值.

➡ 因此, 主变量的互补松弛条件可以严格保证:  $\forall x_i \neq 0, \sum_{e \in S_i} p_e = c_i$

- ▣  $\mathbf{x}$ 的取值受控于 $\mathbf{p}$ , 不能保证对偶变量的互补松弛条件:  $\forall p_e \neq 0, \sum_{i: e \in S_i} x_i = 1$

➡ 但“不满足的程度”可以定界.  
即:  $\forall p_e \neq 0, \sum_{i: e \in S_i} x_i \leq f$

➡ 这将是整个算法的性能界.



SC-ILP

$$\begin{aligned} & \text{Minimize} \quad \sum_{i=1}^m c_i x_i \\ & \text{subject to} \\ & \quad \sum_{i: e \in S_i} x_i \geq 1, \quad \forall e \in U \\ & \quad x_i \in \{0, 1\}, \quad \forall S_i \end{aligned}$$



SC-LPR

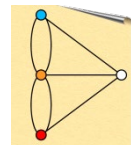
$$\begin{aligned} & \text{Minimize} \quad \sum_{i=1}^m c_i x_i \\ & \text{subject to} \\ & \quad \sum_{i: e \in S_i} x_i \geq 1, \quad \forall e \in U \\ & \quad x_i \geq 0, \quad \forall S_i \end{aligned}$$



SC-LPR-D

$$\begin{aligned} & \text{Maximize} \quad \sum_{e \in U} p_e \\ & \text{subject to} \\ & \quad \sum_{e \in S_i} p_e \leq c_i, \quad \forall S_i \\ & \quad p_e \geq 0, \quad \forall e \in U \end{aligned}$$

# P-D算法 for SC



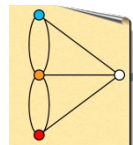
## → SC-P-D

- ▣  $\forall e \in U, p_e = 0$
- ▣  $\mathcal{S} = \emptyset$
- ▣ **While**  $\mathcal{S}$ 未覆盖所有元素 **Do**
  - ▣ 任选一个未覆盖元素 $e$ .
  - ▣ 增大 $p_e$ , 直至有对偶约束变紧.
  - ▣ 将紧约束对应的子集加入 $\mathcal{S}$ .
- ▣ **return**  $\mathcal{S}$

## i SC-LPR-D

$$\begin{aligned} & \text{Maximize } \sum_{e \in U} p_e \\ & \text{subject to} \\ & \sum_{e \in \mathcal{S}_i} p_e \leq c_i, \quad \forall \mathcal{S}_i \\ & p_e \geq 0, \quad \forall e \in U \end{aligned}$$

# 显然, 近似比为 $f$



→ **Claim-12:** 上述针对SC的P-D算法是 $f$ -近似算法.

$$\sum_{S_i \in \mathcal{S}} c_i = \sum_{S_i \in \mathcal{S}} \sum_{e \in S_i} p_e$$

→ 主变量互补松弛条件

$$\leq \sum_{e \in U} f \cdot p_e$$

→ 对偶变量互补松弛条件

$$\leq f \cdot FOPT$$

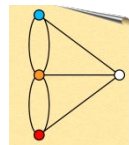
→ 对偶可行; 弱对偶定理

$$\leq f \cdot OPT$$

→ FOPT是下限

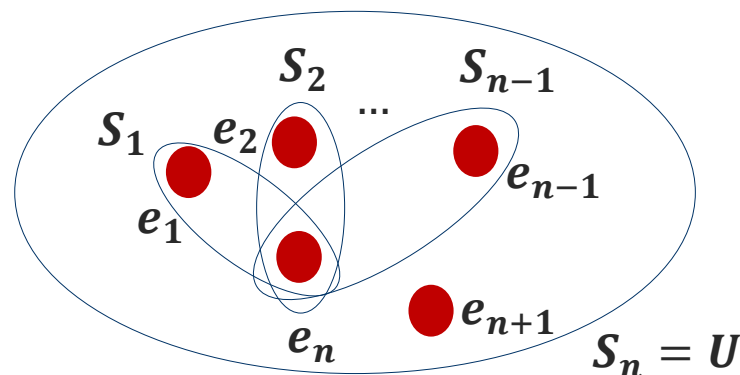
▢ 得证.

# 紧例



➡ 考虑这样一族实例.

- ▶ 共计 $n+1$ 个元素,  $n$ 个子集.
- ▶ 子集定义和代价如右图所示.



? 最大频率 $f=?$

➡ 显然为 $n$

$$c_1 = \dots = c_{n-1} = 1$$
$$c_n = 1 + \epsilon$$

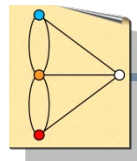
- ▶ 假定算法第一次选中 $e_n$ , 当 $p_{e_n}$ 增大到1时,  $S_1, \dots, S_{n-1}$ 全部变紧, 加入 $S$ .
- ▶ 下一步,  $p_{e_{n+1}}$ 增大到 $\epsilon$ 时,  $S_n$ 变紧, 加入 $S$ .

➡ 算法终止时, 解中包含了全部子集, 代价为 $n + \epsilon$ .

? 最佳解呢?

➡ 只需 $S_n$ , 代价为 $1 + \epsilon$ .

# Journey ahead



➡ 我们**全面**展示了基于LP的近似算法分析和设计技术.

▢ **Dual-Fitting:** 分析近似比

➡ 算法的设计与**LP**无关. 但有了**LP**对偶理论的帮助, 可以更系统地设计证明近似比的策略.

▢ **Rounding:** 设计算法

➡ 算法中直接求解**LPR**. 然后选择合适的取整方案, 确保可行性, 并据此分析近似比.

▢ **Primal-Dual Schema:** 设计算法

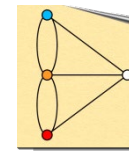
➡ 用**LP**对偶来指导算法的决策过程, 不用求解**LP**.

➡ 但仅用一个问题作为案例, 显然不够**充分**.

➡ 接下来: 讨论更多的问题及其近似算法.



# 基于LP的近似算法



1

**Set Cover**

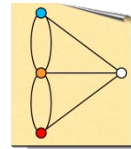
2

**Min. Congestion : Rounding**

3

**MultiCut : Primal-Dual**

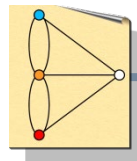
# Rounding



**1** 5 Tools for prob. analysis

**2** Min-Congestion Routing

# 概率分析的工具



➡ 这部分介绍5个概率分析方面常用的结论.

- ▣ 其中4个非常简单. 大多数几句话就可以证明.
- ▣ 最后一个证明起来不容易.

➡ 所以我们重点展示其应用, 都不做证明.

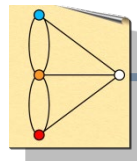
➡ 如果你时常看见别人使用这些工具却难以明白为什么, 这部分内容大概正是你需要的.

➡ 本节内容讨论的例子跟近似算法无关.

➡ 最后一节再回到近似算法.

➡ 应用本节介绍的工具来分析一个随机取整算法.

# 工具#1



## → 工具#1: 线性期望(Linearity of Expectation)

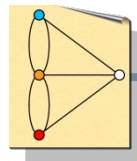
- ▣ 令 $X_1, \dots, X_n$ 是定义在同一状态空间上的随机变量, 则有:

$$E\left[\sum_{i=1}^n X_i\right] = \sum_{i=1}^n E[X_i]$$

## → 注意:

- ▣ 证明很简单. 用期望的定义展开, 交换求和顺序.
- ▣ 不要求这些变量相互独立. 变量相乘就没有这么好的性质了.
- ▣ 算法分析中常用来分析复杂变量[例如**Qsort**中比较的次数]的期望. 因为这些复杂变量通常可以表达为一系列简单变量[指示变量]的求和.

# 工具#2



## → 工具#2: Markov不等式

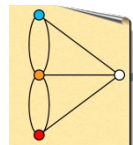
- ▢ 令 $X$ 是非负随机变量, 均值有界. 则 $\forall t \geq 1$ , 有:

$$Pr[X \geq t \cdot E[X]] \leq 1/t$$

## → 注意:

- ▢ 这是讨论“聚集程度”的工具. 表述的是“尾部概率”、偏移概率.
- ▢ 如果你只需要常数保证, 这个不等式通常就够了.
- ▢ 如果希望得到较好的结果,  $E[X]$ 不能太大.
- ▢ 关键是, 该不等式对变量 $X$ 的要求很少, 不需太多假设.

# 工具#3



## → 工具#3: Chebyshev不等式

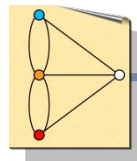
- ▢ 令 $X$ 是非负随机变量, 均值有界, 且方差有界:  $\sigma^2 = \text{Var}[X] < \infty$ . 则 $\forall t \geq 1$ , 有:

$$\Pr[|X - E[X]| > t \cdot \sigma] \leq 1/t^2$$

## → 注意:

- ▢ 直接用**Markov**不等式即可证明.
- ▢ 如果除了均值, 你还能有效评估方差, 那么**Chebyshev**会得到比**Markov**更好的界.
- ▢ 但是别忘了, 对随机变量的要求更高了.
  - 我们将来会看到, 当 $X$ 为多个变量之和时, 这些变量两两独立才能有效评估方差.

# 工具#4



## → 工具#4: Chernoff界

- ▣ 令  $X_1, \dots, X_n$  是同一状态空间上的独立随机变量, 且都在  $[0, 1]$  内取值, 令  $X = \sum_{j=1}^n X_j$ , 则:

(a)  $\forall \delta > 0$ ,

$$Pr[X > (1 + \delta) \cdot E[X]] < \left( \frac{e}{1 + \delta} \right)^{(1 + \delta)E[X]}$$

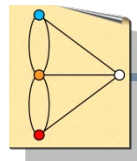
(b)  $\forall 0 < \delta < 1$ ,

$$Pr[X < (1 - \delta) \cdot E[X]] < e^{-\frac{\delta^2}{2}E[X]}$$

## → 注意:

- ▣ 独立假设至关重要. 对随机变量取值也有要求[但适用于算法分析].
- ▣ 我们只用结论a, 但b也有很多应用.
- ▣ “指数上有东西”是这个工具强大的原因. [应用范围不止算法]
- ▣ 这是唯一一个证明起来不太容易的结论.

# 工具#5



## → 工具#5: Union界(Boole不等式)

- ▢ 令  $E_1, \dots, E_k$  表示  $k$  个事件, 则有

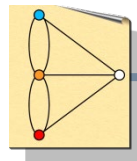
$$Pr[\text{至少其中之一发生}] \leq \sum_{i=1}^k Pr[E_i]$$

## → 注意:

- ▢ 这不是关于尾部概率的结论, 但通常与前三个工具一起使用.
- ▢ 证明起来同样很简单.
- ▢ 算法分析中, 通常关心的是坏事件. 只要每个坏事件概率不大, 而且坏事件的数目不多, 则我们可以说: 它们都不会发生.



# 应用案例#1:抛硬币



➡ 考虑以下案例.

▢ 抛 $n$ 次硬币(独立实验).

▢ 目标: 我们希望求得参数 $t$ , 使得下式满足:

$$\Pr[\text{至少有 } t \text{ 次出现正面}] \leq \frac{1}{n}$$

➡ 随机变量定义:

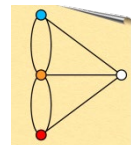
▢ 定义指示变量:  $X_i = \begin{cases} 1, & \text{第 } i \text{ 次出现正面} \\ 0, & \text{第 } i \text{ 次出现背面} \end{cases}$

▢ 令  $X = \sum_{i=1}^n X_i$

➡ 显然,  $X$ 是 $n$ 次中取得正面的次数.

➡ 由工具#1, 不难得出:  $\mu \triangleq E[X] = \sum_{i=1}^n E[X_i] = \frac{n}{2}$

# Markov说...



➡ 先用工具#2 (Markov不等式):

$$\Pr[X \geq t \cdot E[X]] \leq 1/t$$

▣ 令  $t = t'/E[X]$ , 代入可得另一种形式:  $\Pr[X \geq t'] \leq E[X]/t'$

▣ 代入均值, 可得:  $\Pr[X \geq t'] \leq \frac{n}{2}/t'$

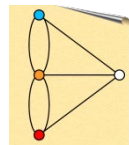
▣ 令  $\frac{n}{2}/t' = 1/n$ , 可得:  $t' = n^2/2$

➡ 结论:

$$\Pr[\text{至少有 } n^2/2 \text{ 次出现正面}] \leq \frac{1}{n}$$

➡ Markov一定在发烧...

# Chebyshev说...



➡ 再用工具#3 (chebyshev不等式):  $\Pr[|X - E[X]| > t \cdot \sigma] \leq 1/t^2$

▣ 令  $t = t'/\sigma$ , 代入可得另一种形式:

$$\Pr[X \geq t'] = \Pr[|X - E[X]| \geq t' - E[X]] \leq \frac{\sigma^2}{(t' - E[X])^2}$$

▣ 由于  $E[X_i] = 1/2$ , 可知:  $\sigma^2(X_i) = E[(X_i - E[X_i])^2] = 1/4$

▣ 由于  $X_i$  相互独立, 故  $\sigma^2(X) = \sum_{i=1}^n \sigma^2(X_i) = n/4$

▣ 代入可得:  $\Pr[X \geq t'] \leq \frac{n}{4(t' - \frac{n}{2})^2}$

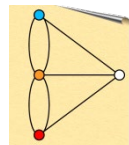
➡ 由此可解出  $t' = n$

➡ 结论:

$$\Pr[\text{至少有 } n \text{ 次出现正面}] \leq \frac{1}{n}$$

➡ Chebyshev也在发烧,  
比Markov温度稍低.

# Chernoff说...



## ➡ 再用工具#4 (Chernoff界):

$$\Pr[X > (1 + \delta) \cdot E[X]] < \left(\frac{e}{1 + \delta}\right)^{(1+\delta)E[X]}$$

▣ RHS可以进一步放大为 $e^{-\frac{\delta^2}{3}E[X]}$ .

▣ 代入均值可得:  $\Pr[X > (1 + \delta) \cdot E[X]] < e^{-\frac{\delta^2}{6}n}$

▣ 令RHS = 1/n, 可得:  $\delta = \sqrt{\frac{6\ln n}{n}}$

➡ 由此可得:  $t = \frac{(1+\delta)n}{2} = \frac{n}{2} + \sqrt{\frac{3n\ln n}{n}}$

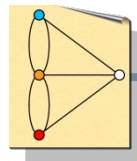
➡ 看起来合理多了:

令 $n = 100$ , 则  $t \approx 76$

令 $n = 1000$ , 则  $t \approx 602$

➡ Chernoff体温应该正常.

# 应用案例#2: 哈希



→ 我们来研究不同的哈希函数族有什么样的性能保障.

- ▣ 考虑一族哈希函数  $h \in \mathcal{H}$ , 每个函数完成的都是从数据空间  $U$  到表项编号  $\{1, 2, \dots, n\}$  的映射.
- ▣ 任给数据集  $S \subseteq U$ , 假定  $|S| = n$ . 随机挑选哈希函数  $h \in \mathcal{H}$ , 用  $h$  将  $S$  中的数据映射到哈希表中.
- ▣ 希望:  $S$  中的元素被均匀散布在哈希表中.

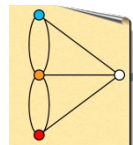
→ 通常用表项“负载”来描述这种均匀程度.

→ 负载越小, 均匀程度越高.

→ 若用链表来解决冲突, 则表项负载也决定了查找耗时.

→ 对哈希函数的不同假设, 会导致不同的性能界.

# H#1:第一个假设



→ 均匀假设: (这是最弱的假设)

$$\square \forall x \in U, \forall i \in \{1, \dots, n\}, \Pr_{h \in \mathcal{H}}[h(x) = i] = 1/n$$

? H#1有多弱?

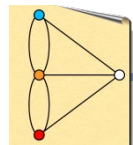
→ 考虑常数哈希:  $\mathcal{H} = \{h(x) = i : i = 1, 2, \dots, n\}$

→ 所有数据都被放入同一表项.

→ 但该函数族满足H#1.

→ 但即使是在这种假设下, 仍可以得到看起来不错的结果.

# 应用工具#1



## ➡ 定义随机变量:

- ▣ 任给  $\forall y \in S$ , 令  $X_y$  表示数据  $y$  被映射到表项  $i$  的指示变量.

$$X_y = \begin{cases} 1, & h(y) = i \\ 0, & otherwise \end{cases}$$

- ▣ 令随机变量  $X$  表示表项  $i$  的负载.

➡ 显然:  $X = \sum_{y \in S} X_y$

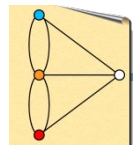
❓  $E[X] = ?$

➡ 由H#1可知,  $E[X_y] = 1/n$

➡ 由线性期望,  $E[X] = \sum_{y \in S} E[X_y] = 1$

➡ 虽然挺合理的, 但均值的内涵实在有限.

# Markov说...



## ➡ 工具#2 (Markov不等式):

$$\Pr[X \geq t \cdot E[X]] \leq 1/t$$

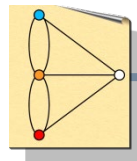
- ▢ 令  $t = n$ , 有:  $\Pr[\text{表项 } i \text{ 的负载} \geq n] \leq 1/n$
- ▢ 解读: 10个数据全部映射到一个表项里的概率不超过1/10.
- ▢ 如果你对哈希的理解足够, 这种性能保证很难令人满意.
- ▢ 但在只有H#1这么弱的假设下, 你只能得到这样的保证.

➡ 那族常数哈希的确达到了这个界.

➡ 哈希函数在应用中, 除了需要满足均匀假设外, 还需要满足独立性假设.



# H#2:第二个假设



## ➡ 成对独立假设:

▣  $\forall x, y \in U, x \neq y, \forall i, j \in \{1, \dots, n\},$   
$$Pr_{h \in \mathcal{H}}[h(x) = i, h(y) = j] = \frac{1}{n^2}$$

▣ 换句话说, 该假设下, 任给一对数据, 哈希函数的决定就像完全独立、且完全均匀的一样.[联合概率被分解]

▣ 但是, 成对独立不是完全独立.

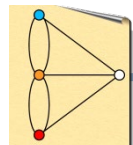
[X1表示抛出硬币正面, X2表示另一个硬币抛出正面, X3=X1+X2]

▣ 满足H#2的函数族通常称为pairwise哈希.

▣ 在理论上大致相当于Universal哈希的要求.[实际中等效]

▣ 常数哈希显然不满足这个假设.

# H#2意味着什么?



➡ 该假设意味着X的方差可以估计, 而且较小.

$$\blacksquare \text{Var}[X] = \sum_{y \in S} \text{Var}[X_y]$$

➡ 一般来说, 该式不成立. [X1和X2代表两个互补事件, 则X1+X2永远为1, 方差为0]

➡ 事实上,  $\text{Var}[X]$ 展开后, 除了方差之和外, 还有一堆协方差项.

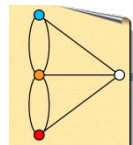
➡ 但在H#2下, 所有协方差为0.

$$\blacksquare \text{由于 } \text{Var}[X_y] = \frac{1}{n} \left(1 - \frac{1}{n}\right)^2 + \left(1 - \frac{1}{n}\right) \left(-\frac{1}{n}\right)^2 = \frac{1}{n} \left(1 - \frac{1}{n}\right)$$

$$\blacksquare \text{故有: } \text{Var}[X] = n \cdot \frac{1}{n} \left(1 - \frac{1}{n}\right) \leq 1$$

➡ 作为对比, 常数哈希下,  $\text{Var}[X] = n$

# 方差有界意味着什么？



→ 可以听Chebyshev怎么说了.

$$\Pr[|X - E[X]| > t \cdot \sigma] \leq 1/t^2$$

▣ 令  $t = n$ , 有:  $\Pr[\text{表项 } i \text{ 的负载} \geq n] \approx \Pr[|X - 1| \geq n] \leq 1/n^2$

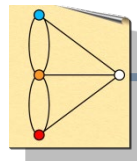
▣ 解读: 差不多有1%的概率, 会把10个数据全部映射到同一表项.

→ 这无疑比只有H#1的情况下得到的性能保证要好得多.

→ 但其实仍然不够好.

→ 正如你可能已经预料到的, 如果加强独立性假设, 可望得到更好的性能保证.

# H#3:第三个假设



## → 完全独立假设:

▣ 所有的 $h(x)$ 都均匀且独立地散布于 $\{1, 2, \dots, n\}$ 中.

→ 这是最完美的哈希函数.

→ 完美到不可实现. [我们生活在一个不可能存在完美的世界]

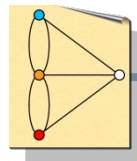
→ 这差不多等价于随机哈希函数.[每来一个数据都随机选择一次]

→ 显然, 这不可能.

→ 现实中满足H2的函数族存在; 满足H3的没有;  
但介于二者之间的那些函数族正是人们追求的目标.

→ 仍然值得追问: 这种完美假设下, 能达到怎样的性能保证.

# 该听听Chernoff了...



➡ H#3下,  $X$ 是由 $n$ 个独立的0-1变量求和得到的.

▣ 应用Chernoff界(part a), 令 $1 + \delta = \ln n$ , 可得:

$$Pr[X \geq \ln n] < \left(\frac{e}{\ln n}\right)^{\ln n}$$

▣ 解读: 首先注意到 $\left(\frac{1}{e}\right)^{\ln n} = \frac{1}{n}$ .

可推广到:  $a^{\ln n} \approx \frac{1}{n^d}$ ,  $0 < a < 1$ , 其中 $a$ 越小,  $d$ 越大.

▣ 再注意到我们的结论中,  $e/\ln n$ 可以任意小.

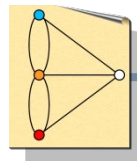
➡ 这个概率小于任意的“多项式倒数”函数. 即: WHP,  $X \leq \ln n$

▣ 对比Markov和Chebyshev推得的结论.

➡ 偏移更小. [ $\ln n$  vs.  $n$ ]

➡ 概率也更小. [可以小于任意的多项式倒数]

# 类似的另一个结论



➡ 同样基于Chernoff界, 换种推导方式, 可得:

$$\blacksquare \Pr \left[ X \geq \frac{3 \ln n}{\ln \ln n} \right] \leq \frac{1}{n^2}$$

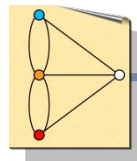
➡ 这种形式在算法分析中也经常看到.

➡ 我们将来还会看到.

➡ 至此, 我们讨论的都是“单个表项*i*的负载”.

➡ 更有意义的答案通常是: 整张表(*n*个表项)的负载上界.

# 应用工具#5



➡ 定义:

▣  $\forall i \in \{1, 2, \dots, n\}$ , 令  $E_i$  表示事件: 表项  $i$  的负载超过  $\frac{3 \ln n}{\ln \ln n}$

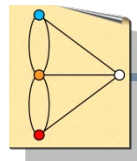
➡ 根据 Union Bound, 可知:

$$\Pr[\text{至少有一个事件发生}] \leq \sum_{i=1}^n \Pr[E_i] \leq \frac{1}{n}$$

➡ 换句话说, “没有任何表项负载超过  $\frac{3 \ln n}{\ln \ln n}$ ” 的概率超过  $1 - \frac{1}{n}$ .

➡ 经常也表述为: WHP, 最大负载小于  $O\left(\frac{\ln n}{\ln \ln n}\right)$ .

# 小结: 5个工具



## ➡ 工具#1: 线性期望

➡ 如果你关心的只是均值, 这个工具通常就够了.

## ➡ 工具#2: Markov不等式

➡ 如果你只需证得常数界, 这个工具通常足够了.

## ➡ 工具#3: Chebyshev不等式

➡ 如果你能有效控制方差, 那么这个工具得到的结果比Markov好.

## ➡ 工具#4: Chernoff界

➡ 如果随机变量是多个独立有界的随机变量之和, 一定要试试这个.

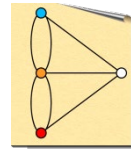
## ➡ 工具#5: Union Bound

➡ 可以用来避免多个低概的坏事件.

! 其中四个都非常简单, 五个都非常有用.



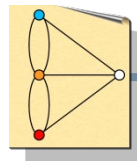
# Rounding



**1** 5 Tools for prob. analysis

**2** **Min-Congestion Routing**

# 概要



## ➡ 让我们回到近似算法.

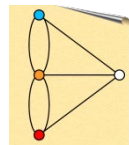
- ▣ 本节将应用上述概率分析工具来讨论一个具体的随机取整算法.

➡ 具体来说, 会用到工具#1, #4和#5.

- ▣ 该算法针对的是最小拥塞路由问题.[RR的典型应用]
- ▣ 该问题在实质上与LP建模那部分讨论过的分离路径问题是一致的,

➡ 建模成带有优化目标的模型更便于陈述和理解.

# 最小拥塞路由问题



## Edge-ILP


Minimize  $t$

subject to

$$\begin{aligned} \sum_{e \in \delta^+(d_i)} x_{e,i} &= \sum_{e \in \delta^-(s_i)} x_{e,i} = 1, & \forall i \\ \sum_{e \in \delta^+(v)} x_{e,i} &= \sum_{e \in \delta^-(v)} x_{e,i}, & \forall i, \forall v \neq s_i, d_i \\ \sum_{i=1}^K x_{e,i} &\leq t, & \forall e \in E \\ x_{e,i} &\in \{0, 1\}, & \forall i, \forall e \in E \end{aligned}$$

- ▶  $K$ 对顶点,  $(s_1, d_1), \dots, (s_K, d_K)$
- ▶ 变量定义在边上.
- ▶  $x_{e,i}$ :第 $i$ 对 $s$ - $d$ 的路径是否经过 $e$ .
- ▶  $\delta^+(v)$ :顶点 $v$ 的入度边.
- ▶  $\delta^-(v)$ :顶点 $v$ 的出度边.

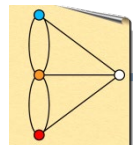
 该问题在求解什么?

 为那 $K$ 对顶点各安排一条路, 希望这 $K$ 条路“重用”的边数目最小化.

  $0$ - $1$ 约束改为非负约束,得到Edge-LPR.

 该问题是NP-H问题. 通信网、电路设计等领域用途广泛.

# Path-ILP



➡ 将变量定义在路径上, 可得等价的模型.

## i Path-ILP

Minimize  $t$   
subject to

$$\sum_{P \in \mathcal{P}_i} x_P = 1, \quad \forall i$$

$$\sum_{i=1}^K \sum_{e \in P, P \in \mathcal{P}_i} x_P \leq t, \quad \forall e \in E$$

$$t \geq 0,$$

$$x_P \in \{0, 1\}, \quad \forall P$$

▢  $\mathcal{P}_i$ : 第 $i$ 对 $s$ - $d$ 之间存在的所有路径.

▢  $x_P$ : 是否使用了路径 $P$ .

➡ 0-1约束改为非负约束, 得到**Path-LPR**.

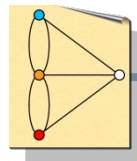
❓ 为什么需要两个等价的模型?

➡ 取整的依据是**Path-LPR**的解.

➡ 但算法第一步求解的是**Edge-LPR**.  
[因为**Path-LPR**的变量数目为指数]

❓ 如何变换?

# Flow分解算法



➡ 输入Edge-LPR的解 $\{x_{e,i}\}$ , 输出Path-LPR的解 $\{x_P\}$ .

▢ 从 $s_i$ 开始,跟踪 $x_{e,i} > 0$ 的边, (有多个选择时,任选一个), 直至到达 $d_i$ .

➡ 得到一条路径 $P$ .

▢ 找到路径 $P$ 上最小的 $x_{e,i}$ ; 从 $P$ 的每个边上都减去该最小值.

▢ 记录 $x_P$ 为该最小值.

▢ 重复以上三步, 直至 $s_i$ 的流量为0.

▢ 对其他的s-d对重复以上步骤.

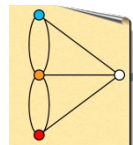
➡ 可以证明, 这样得到的 $\{x_P\}$ 满足以下性质:

▢ 是Path-LPR的可行解.

▢ 目标值为FOPT, 与 $\{x_{e,i}\}$ 一样.

▢  $\forall i, \sum_{P \in \mathcal{P}_i, e \in P} x_P = x_{e,i}$

# 随机取整算法



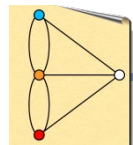
## ➡ 算法:

- ▣ **Step#1:** 调用LP-Solver求解Edge-LPR, 得到 $\{x_{e,i}^*\}$ .
- ▣ **Step#2:** 调用流分解算法, 得到 $\{x_p^*\}$ .
- ▣ **Step#3:** 将 $\{x_p^*\}$ 理解为概率, 随机取整.

## ➡ 取整方法跟以前一样.

- ▣ 假定针对第i对s-d,  $\{x_p^*\}$ 中用了三条路, 流值分别为0.5, 0.3和0.2
- ▣ 产生 $[0,1]$ 内均匀分布的随机数 $\beta$ .
  - ➡ 若 $\beta \in [0, 0.5]$ , 则选择第一条路; 若 $\beta \in [0.5, 0.8]$ , 则选第二条路; 若 $\beta \in [0.8, 1]$ , 则选第三条路.
- ▣ 关键点: 针对每个s-d对, 随机选择都是**完全独立**的.

# 分析:均值



## → 拥塞程度的均值:

- ▢ 令  $X_{e,i}$  表示最终的解中, 第  $i$  对  $s$ - $d$  的路径是否经过边  $e$  的指示变量.

→ 很明显,  $Pr[X_{e,i}] = x_{e,i}^*$

→ 因此,  $E[X_{e,i}] = x_{e,i}^*$

- ▢ 令  $X_e$  表示随机变量: 取整后有多少条路径经过了边  $e$ .

→ 显然,  $X_e = \sum_{i=1}^K X_{e,i}$

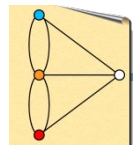
→ 由线性期望可知,  $E[X_e] = \sum_{i=1}^K E[X_{e,i}] = \sum_{i=1}^K x_{e,i}^* \leq t^* = FOPT$

- ▢ 换句话说, 平均来看, 边上的拥塞程度最多为  $t^*$ .

## → 为了得到更可靠的结论, 需要保证尾部概率足够小.

- ▢  $X_e$  是一组取值为 0-1 的独立随机变量之和, 满足 Chernoff 界的条件.

# 又来做梦...



## ➡ 推导的目标:

▣ 假如我们能证得, 存在 $\lambda$ , 使得 $\forall e \in E$ , 都有(其中 $m = |E|$ ):

$$Pr[X_e \geq \lambda t^*] \leq \frac{1}{m^2}$$

➡ 根据Union Bound可知:

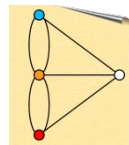
$$Pr[\exists e, X_e \geq \lambda t^*] \leq \frac{1}{m}$$

➡ 可表述为: **WHP**, 算法解比**FOPT**最多差 $\lambda$ 倍.

➡ 我们得到的是个 $\lambda$ -近似算法.



# 应用Chernoff界



➡ 推导:

▣ 令  $\mu = E[X_e]$ , 前面讨论过,  $\mu \leq t^* = FOPT \leq OPT$

▣ 我们有:

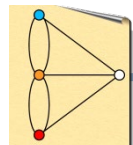
$$\begin{aligned} Pr[X_e > \lambda \cdot OPT] &\leq Pr[X_e > \lambda \mu] \xrightarrow{\text{绿色箭头}} \mu \leq OPT \\ &\leq \left(\frac{e^\lambda}{\lambda^\lambda}\right)^\mu \xrightarrow{\text{绿色箭头}} \text{令 } \lambda = (1 + \delta), \text{ 套Chernoff界} \end{aligned}$$

▣ 无论  $\mu$  取值如何, 均可证明, 当  $\lambda = O(\frac{\ln m}{\ln \ln m})$  时,  $\left(\frac{e}{\lambda}\right)^{\lambda \mu} \leq \frac{1}{m^2}$

▣ 出现如此古怪的函数形式, 是因为方程  $x^x = m$  的解大致为  $\frac{\ln m}{\ln \ln m}$ .

➡ **Claim-13:** 这个随机取整算法  $O(\frac{\ln m}{\ln \ln m})$  - 近似.

# 小结



➡ 五个工具: 随机近似算法的分析中非常有用

➡ 最小拥塞路径: 随机取整技术最典型的应用

- ▢ Edge-ILP vs. Path-ILP; Flow Decomposition

- ▢ 分数解与概率解读;

- ▢ WHP概念的应用;

- ▢ Chernoff界的应用.

# 基于LP的近似算法



1

**Set Cover**

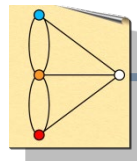
2

**Min. Congestion : Rounding**

3

**MultiCut : Primal-Dual**

# Multicut: 背景



## ➡ 在单商品流问题中:

- ▣ 最小**s-t**割问题及其对偶(最大**s-t**流)占据了核心地位.
- ▣ 围绕这一对问题, **LP**理论和各种组合优化方法被联系在一起.

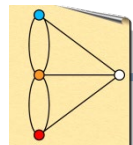
## ➡ 在多商品流问题中:

- ▣ 同样存在着地位类似的一对问题:  
最小**Multicut** vs. 整数最大多商品流

➡ 前面讨论过的最小拥塞路由问题是后者的一种特殊变形.

➡ 我们下面要讨论的算法针对的是前者的一种特例.

# 最小Multicut问题



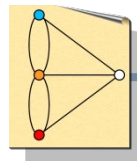
## ➡ 问题描述:

- ▣ 给定无向图  $G = (V, E)$
- ▣  $\forall e \in E$ , 给定边上容量  $c_e$ .
- ▣ 给定  $K$  对顶点,  $\{(s_1, t_1), (s_2, t_2), \dots, (s_K, t_K)\}$   
➡ **Pair**之间各不相同, 但可以有相同的顶点.
- ▣ **Multicut**是一个边的子集, 去掉这些边, 会使得所有的 **s-t**对被分开.
- ▣ 该问题的目标: 最小容量的 **multicut**.

## ➡ Notes:

- ▣ 若  $K=1$ , 退化为最小 **s-t**割问题. 多项式可解.
- ▣ 对任意  $K$ 值, 该问题 **NP-H**.

# Tree-Multicut问题



➡ 我们这里关注的是最小Multicut问题的一个特例.

▣ 给定的图是一棵无向树; 其他问题描述不变.

➡ 由于是树, 任意一对顶点间只有唯一路径.

➡ 令 $(s_i, t_i)$ 之间的那条路为 $p_i$ .

➡ 为了分割 $(s_i, t_i)$ , multicut中至少要包含 $p_i$ 上的一条边.

➡ 或许你觉得这个问题容易多了, 但它仍然是NP-H.

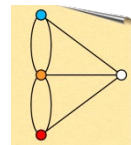
[Vertex Cover问题可以归约为该问题]

➡ 本节任务:

▣ 发展一个针对TM问题的P-D算法.

➡ 因此需要先给出TM-ILP, TM-LPR, 和TM-LPR-D.

# ILP vs. LPR



## i TM-ILP

$$\text{Minimize } \sum_{e \in E} c_e d_e$$

subject to

$$\sum_{e \in p_i} d_e \geq 1, \forall i \in \{1, \dots, K\}$$

$$d_e \in \{0, 1\}, \forall e \in E$$

## ➔ Notes:

- ▣  $d_e$  为决策变量.
- ▣ 同样, LPR 中不需要约束  $d_e \leq 1$
- ▣ LPR 的解称为分数 multicut:  
 $\forall p_i$ , 其上各边的取值之和超过 1.
- ▣ 很明显,  $\text{FOPT} \leq \text{OPT}$ .
- ▣ 考虑下例.

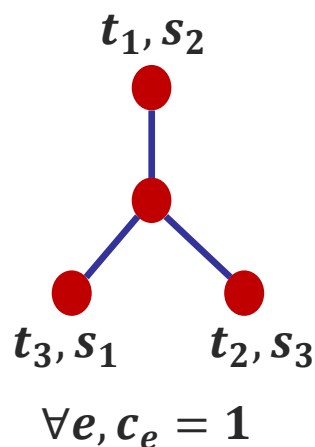
## i TM-LPR

$$\text{Minimize } \sum_{e \in E} c_e d_e$$

subject to

$$\sum_{e \in p_i} d_e \geq 1, \forall i \in \{1, \dots, K\}$$

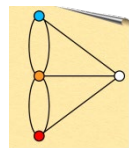
$$d_e \geq 0, \forall e \in E$$



➔ 为了分割三对顶点, 至少需要 2 条边.  $\text{OPT}=2$

➔ 考虑分数解:  $\forall e, d_e = \frac{1}{2}$   
 每条路含两条边, 故满足约束.  $\text{FOPT}=3/2$

# LPR vs. LPR-D



## 对偶及其含义:

- 经标准推导可得TM-LPR-D.
- 容易发现, 这是个多商品流模型.

→  $f_i$  表示路径  $p_i$  上的流.

→ 该问题要求在  $K$  对顶点之间搬运流, 希望总流量最大化, 但必须满足边上的容量约束.

→ 唯一的区别是: 这里是无向图, 因此计算一条边上的总流量时, 无论哪个方向经过该边, 都需要累加.

→ 这个有明确物理意义的问题, 称为  
“**树上最大多商品流**”. (Tree-Flow)



### TM-LPR

$$\text{Minimize } \sum_{e \in E} c_e d_e$$

subject to

$$\sum_{e \in p_i} d_e \geq 1, \forall i \in \{1, \dots, K\}$$

$$d_e \geq 0, \forall e \in E$$



### TM-LPR-D

$$\text{Maximize } \sum_{i=1}^K f_i$$

subject to

$$\sum_{i: e \in p_i} f_i \leq c_e, \forall e \in E$$

$$f_i \geq 0, \forall i \in \{1, \dots, K\}$$



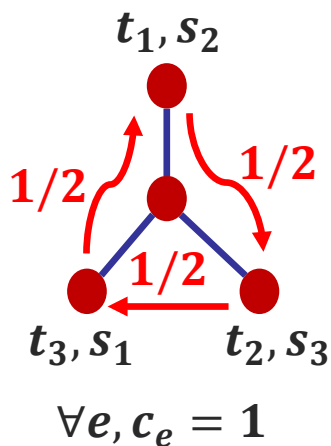
# TF-LPR vs. TF-ILP

## ➡ 更进一步:

▣ 上述TF问题的解显然是分数解.

➡ 若将非负约束改为0-1整数约束, 则得到的是相应的整数TF问题.  
[当然, 其他问题输入也必须是整数]

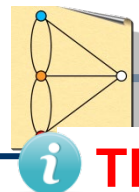
## ➡ TF-ILP vs. TF-LPR



➡ 显然, 分数最佳解为:  
三条路径都是1/2. 总和为3/2.

➡ 而整数最佳解为: 只能选一条路, 流为1.

➡ 毫不意外:  
 $\text{FOPT} \geq \text{OPT}$



## TF-ILP

$$\text{Maximize } \sum_{i=1}^K f_i$$

subject to

$$\sum_{i: e \in p_i} f_i \leq c_e, \forall e \in E$$

$$f_i \in \{0, 1\}, \forall i \in \{1, \dots, K\}$$



## TF-LPR(TM-LPR-D)

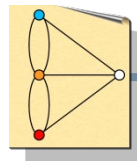
$$\text{Maximize } \sum_{i=1}^K f_i$$

subject to

$$\sum_{i: e \in p_i} f_i \leq c_e, \forall e \in E$$

$$f_i \geq 0, \forall i \in \{1, \dots, K\}$$

# Multicut vs. 多商品流



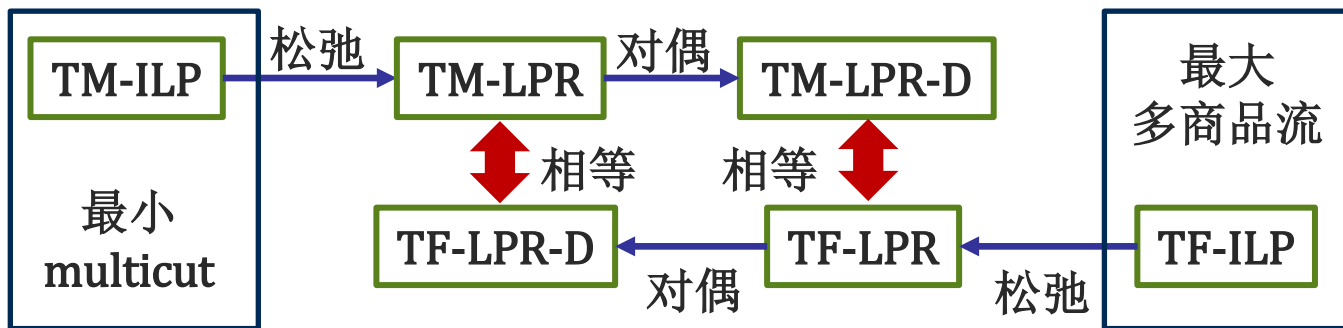
## ➡ 再进一步:

▣ 假如给定的不是树, 而是一般图; 其他描述与**TF-ILP**一致.

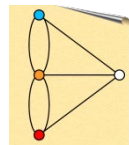
➡ 最大多商品整数流问题: 图 $G$ ,  $s$ - $t$ 对都与最小**multicut**问题一样, 但边上容量为整数. 对每个 $s$ - $t$ 对定义一种商品. 希望运送的商品总量最大化. 要求满足边上的容量约束, 且流量为整数.

➡ **TF**显然是该问题的特例.

## ➡ 小结一下:



# P-D算法干了什么？



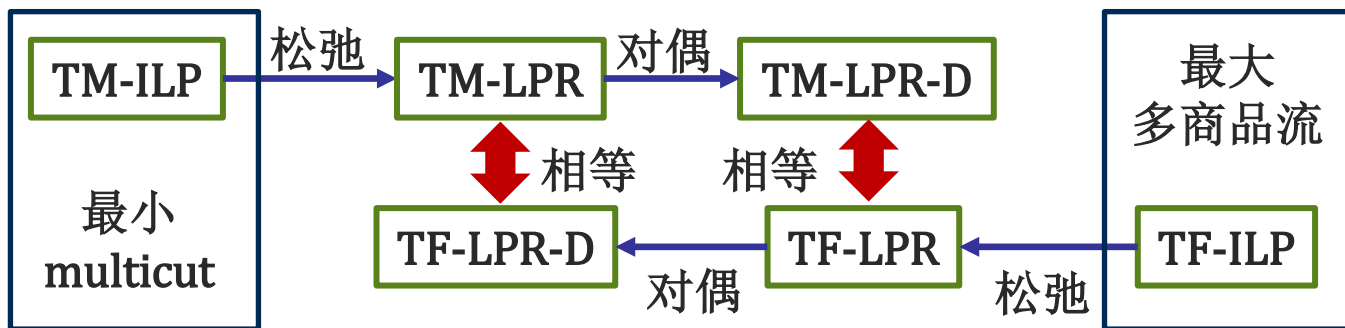
➡ 接下来讨论TM-ILP问题的Primal-Dual算法。

- ▢ A) 维护一组主解, 一组对偶解.
- ▢ B) 始终保持对偶可行, 追求主可行.
- ▢ C) 始终保证主变量互补松弛条件满足.
- ▢ D) 始终保证对偶互补松弛条件近似满足.

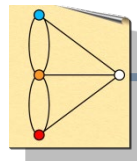
❓ 从TF问题的角度看, 该算法干了些啥？

➡ 把上面四句话中的“主”和“对偶”交换一下.

➡ 该算法同时求解了TF问题. 且近似比一样( 2 vs.  $\frac{1}{2}$ )



# P-D算法概要设计



➡ 让我们对着上述四条特征来看看如何实现.

▣ A) 维护一组主解, 一组对偶解.

➡ 这个容易. 设置两组变量而已. 初始化时, 流 $f$ 为0; 割边 $D$ 为空集.

▣ B) 始终保持对偶可行, 追求主可行.

➡ 也不难. 每次增大 $f$ 时, 都保证容量约束满足.  $D$ 集合添加边的方式保证主变量为整数; 直至最后 $D$ 集合可行: 满足multicut的条件.

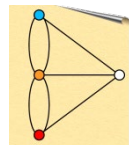
▣ C) 始终保证主变量互补松弛条件满足.

➡ 同样不难. 只需保证每次向 $D$ 中加边时, 这些边上的容量被用满 (对偶约束变紧). 算法中正是基于这个条件来决定加入哪条边.

▣ D) 始终保证对偶互补松弛条件近似满足.

➡ 这个麻烦了.

# 设计难点



➡ 如何保证对偶互补松弛条件近似满足。

▢ 在VC问题中, 这并不难, 按照C定义的方式选择顶点, 自动就保证了最多超过主约束2倍。

❓ 但在这里如何保证选出来的边的数目有界(即 $\sum_{e \in p_i} d_e \leq \beta$ )?

➡ 该算法做了两件事:

▢ 流选择方式: 每次增加流f时, 都用一种特殊的方式来决定增加那些路径流。

▢ 删减步骤: 在得到主可行解后, 还对该解进行了一次删减(去掉D中冗余的边)

➡ 最终保证了 $\beta = 2$ 。

➡ 从而得到2-近似算法。



**TM-LPR**

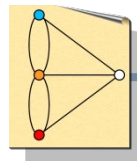
Minimize  $\sum_{e \in E} c_e d_e$

subject to

$$\sum_{e \in p_i} d_e \geq 1, \forall i \in \{1, \dots, K\}$$

$$d_e \geq 0, \forall e \in E$$

# 几个术语



## ➡ 顶点深度(depth):

- ▣ 从顶点 $v$ 出发到达根顶点的路径长度(跳数), 称为 $v$ 的深度.  
[根顶点任意选定; 显然, 根的深度为0]

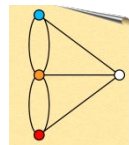
## ➡ 最低公共祖先(lowest common ancestor, **lca**)

- ▣ 任给两个顶点 $u, v \in V$ ,  $lca(u, v)$  =  $u$ - $v$ 路径上深度最小的顶点.

## ➡ “更深” 的含义(deeper)

- ▣ 考虑一条从顶点 $v$ 到根的路径.
- ▣ 从 $v$ 开始 “上行”, 先碰到的点(或边)比后碰到的点(或边)更深.

# P-D算法for TM



## TM-P-D

- ▶ Step#1(初始化):  $D = \Phi, f = 0$
- ▶ Step#2(**Flow Routing**):
  - ▶ 按深度降序, 逐一检查图中顶点 $v$ 
    - ▶  $\forall (s_i, t_i), s. t. lca(s_i, t_i) = v$ , 贪心增加 $p_i$ 上的流量 $f_i$ , 直至有边被耗尽.
    - ▶ 将所有耗尽边加入 $D$ .
- ▶ Step#3(**Reverse Deletion**):  
[令 $e_1, \dots, e_l$ 为 $D$ 中边的加入顺序]
  - ▶ For  $j = l$  downto 1
    - ▶ IF  $D - \{e_j\}$ 仍是multicut,  
THEN  $D = D - \{e_j\}$
- ▶ Step#4: 输出 $D$ 和 $f$

流选择方式:

- 1) 由顶点来决定哪些流增大;
- 2) 顶点按照深度排序.

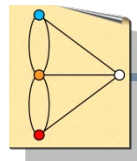
删减步骤:

- 1) 去掉“冗余”;
- 2) “逆序”删减.



为什么这两个设计可以保证近似比?

# 关键引理



→ **Lemma-14:** 令 $(s_i, t_i)$ 得到了非零流量, 且 $lca(s_i, t_i) = v$ . 则:

- (a)  $s_i$ 到 $v$ 的路径上最多只有一条边被选入 $D$ .
- (b)  $v$ 到 $t_i$ 的路径上最多只有一条边被选入 $D$ .

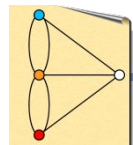
- ▣ 我们只证明结论a, 结论b同理可证.
- ▣ 假定 $s_i - v$ 路径上有两条边 $e$ 和 $e'$ 被选入 $D$ ; **WLOG**,  $e$ 比 $e'$ 更深.
- ▣ 考虑逆序删减过程中, 检查到 $e$ 的那个时候.

❓ 什么原因使得 $e$ 没有被删除?

- ➡ 一定是因为除了 $(s_i, t_i)$ 之外, 还有另一对 $(s_j, t_j)$ 依赖于 $e$ 才能分隔开.
- ➡ 换句话说, 检查 $e$ 时 $D$ 中只有 $e$ 在路径 $p_j$ 上. (**事实#1**)
- ➡ 这同样也说明:  $e'$ 不在路径 $p_j$ 上.



# 证明(续)



- **Lemma-14:** 令  $(s_i, t_i)$  得到了非零流量, 且  $lca(s_i, t_i) = v$ . 则:
- (a)  $s_i$  到  $v$  的路径上最多只有一条边被选入  $D$ .
  - (b)  $v$  到  $t_i$  的路径上最多只有一条边被选入  $D$ .

▣ 令  $lca(s_j, t_j) = u$

→ “ $e'$  不在路径  $p_j$  上” 足以说明:  $u$  比  $e'$  更深.

→ 所以,  $u$  比  $v$  更深. → 算法会先处理  $u$ . (事实#2)

▣ 处理  $u$  时, 路径  $p_j$  上至少一条边(令为  $e''$ )加入  $D$ . (事实#3)

?  $e$  是什么时候加入  $D$  的?

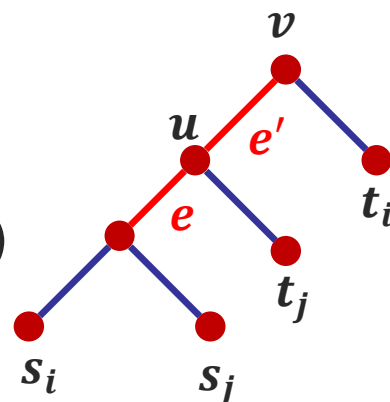
→ 处理  $v$  时, 或者在那之后. 否则  $p_i$  上流量为 0. (事实#4)

▣ 由事实#2、#3和#4可知,  $e''$  比  $e$  更早加入  $D$ .

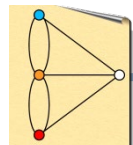
▣ 逆序删除意味着, 检查  $e$  时,  $e''$  应该还在  $D$  中.

→ 这与事实#1矛盾.

▣ 得证.



# 可行性



➡ **Claim-15:** 对树上最小Multicut问题, 上述P-D算法2-近似.  
对树上最大多商品整数流问题, 上述P-D算法1/2-近似.

▣ 先证明可行性.

➡ Step#2结束时,  $f$  是整数极大流.

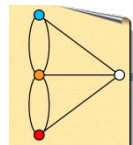
➡ 因此,  $f$  是可行的.

➡ Step#2结束时的D必然是Multicut(否则 $f$ 不可能是极大流)

➡ Step#3删除的边是冗余的.

➡ 因此, 最后输出的D可行.

# 近似比



➡ **Claim-15:** 对树上最小Multicut问题, 上述P-D算法2-近似.  
对树上最大多商品整数流问题, 上述P-D算法1/2-近似.

▣ 再看近似比.

➡ D中每条边都是容量耗尽的. ➡ 主互补松弛条件满足.

➡ 由Lemma-14, 非零流路径上, 最多只有两条边被加入D.

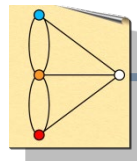
➡ 因此, 对偶互补松弛条件“2倍近似满足”.  
[D中边的数目最多为流量 $f$ 的2倍]

➡ 由于可行流是最佳Multicut的下界.  
➡ 该算法对Multicut问题2-近似.

➡ 由于可行Multicut是最佳多商品流的上界.  
➡ 该算法对多商品流问题1/2-近似.

▣ 得证.

# 小结



- ➡ 由于对偶关系的存在, **Primal-Dual**算法往往可以同时求解两个问题.
- ➡ 对偶互补松弛条件的“近似满足程度”如何定界, 往往是算法设计的难点.
- ➡ 根据具体问题, 巧妙设计对偶解的改进顺序, 是克服该困难的有效手段.
- ➡ 对得到的主可行解进行“裁减”, 同样也是有效手段.
- ➡ 至少对某些问题, 裁减的顺序很关键.